

„Bildverarbeitung“

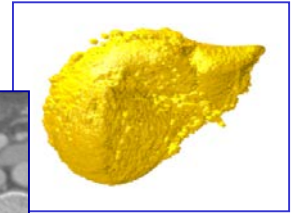
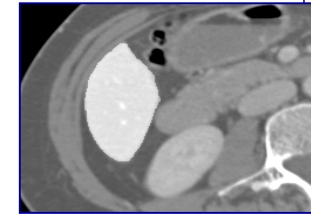
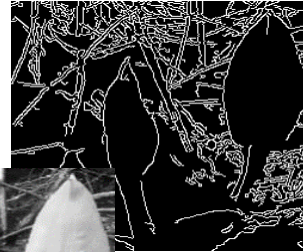
Hochschule Niederrhein

Regina Pohle-Fröhlich

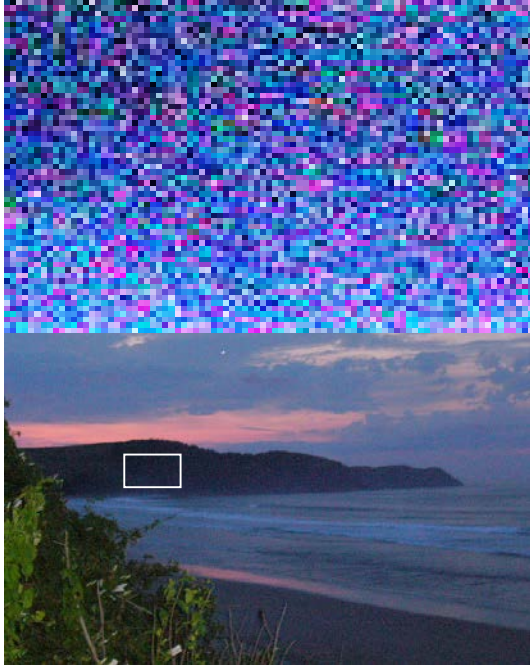
Tiefpassfilterung im Ortsbereich

Roter Faden durch die Vorlesung

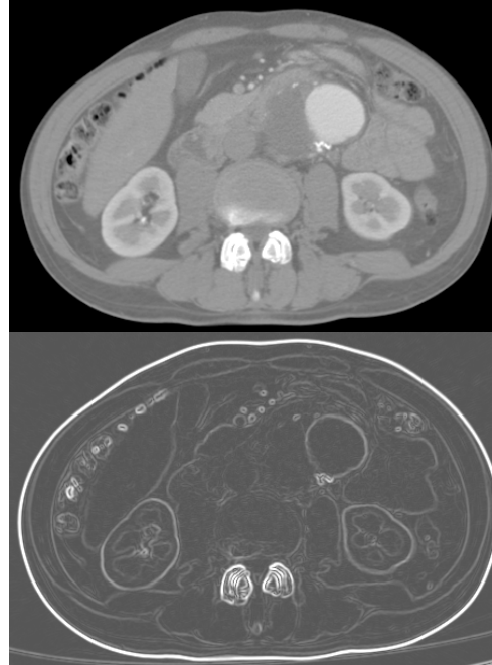
- Bildaufnahme
- Histogramme
- Grauwertmodifikation
- Glättungsfilter
- Kantenfilter
- Nichtlineare Filter
- Segmentierung
- Morphologische Operationen
- Fourier Transformation
- Anwendung der FFT
- Probeklausur



4 Filtern



Minderung von Rauschen



Erkennen von Struktur-
grenzen

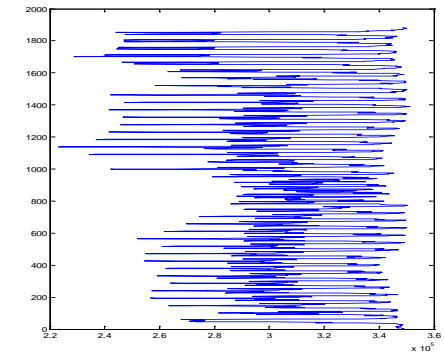
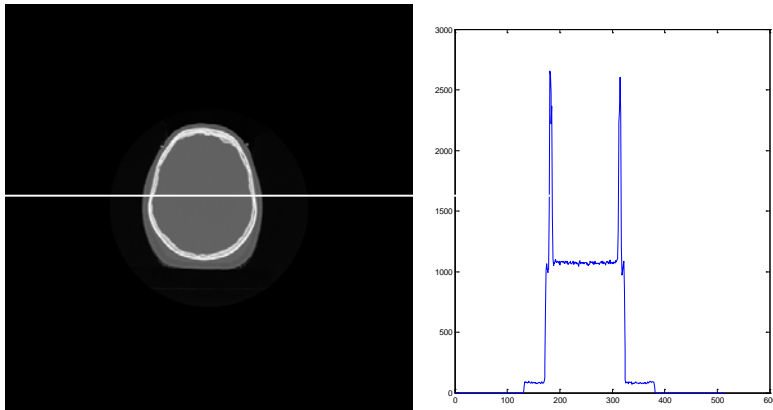


Beseitigung von Details

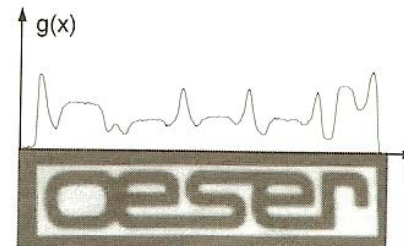
4.1 Visualisierung von Filterergebnissen

Zeilenprofil: Grauwertsumme je Zeile

Grauwertprofil: Grauwertverlauf längs einer Linie



Spaltenprofil: Grauwertsumme je Spalte



[1]

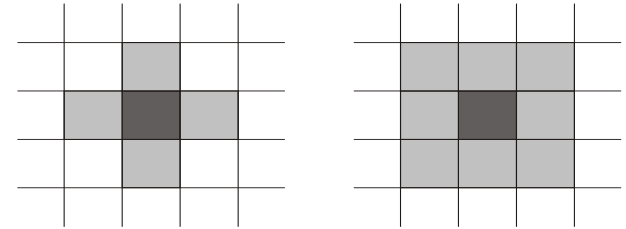
4.2 Nachbarschaftsoperationen

- Grauwert eines Punktes als auch bestimmte Menge seiner räumlichen bzw. zeitlichen Nachbarn dienen als Eingabe
- Aus Eingabewerten wird Ergebnis berechnet und an die Koordinate des Referenzpunktes in das Zielbild geschrieben
- Bildgeometrie ändert sich nicht, d.h. die Position der Pixel bleibt nach der Operation unverändert.

4.2 Nachbarschaftsoperationen

Quadratische (rechteckige) Gitter:

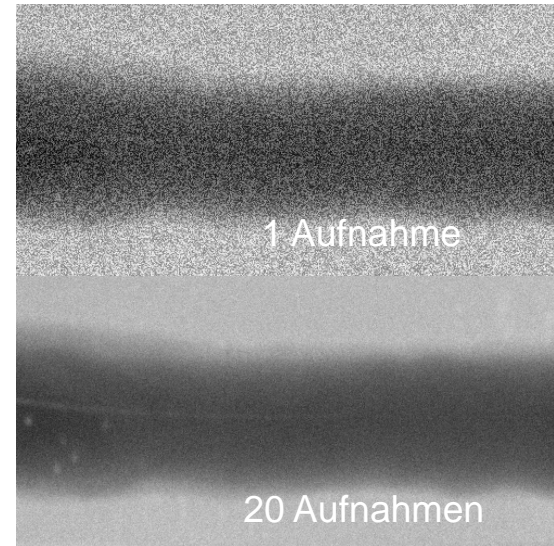
- 4-Nachbarschaft: Pixel haben eine gemeinsame Seite
- 8-Nachbarschaft: Pixel haben eine gemeinsame Seite oder einen gemeinsamen Eckpunkt



4.3 Rauschreduktion

Integration über eine zeitliche Folge

- Annahmen
 - Aufnahme mehrerer Bilder $g_i, i=1, I$ über einen gegebenen Zeitraum.
 - Bild verändert sich über den Zeitraum nicht (keine Bewegung, keine Beleuchtungsänderung).
 - Erwartungswert E des Rauschens n ist 0.
- Näherung an die unverrauschte Funktion f :
 - $$\begin{aligned} E\{g(x,y)\} &= E\{f(x,y)\} + E\{n(x,y)\} \\ &= E\{f(x,y)\} + 0 = f(x,y) \end{aligned}$$
 - Abschätzung von $E\{g(m,n)\}$ durch Integration über die Bilder.



4.3 Rauschreduktion

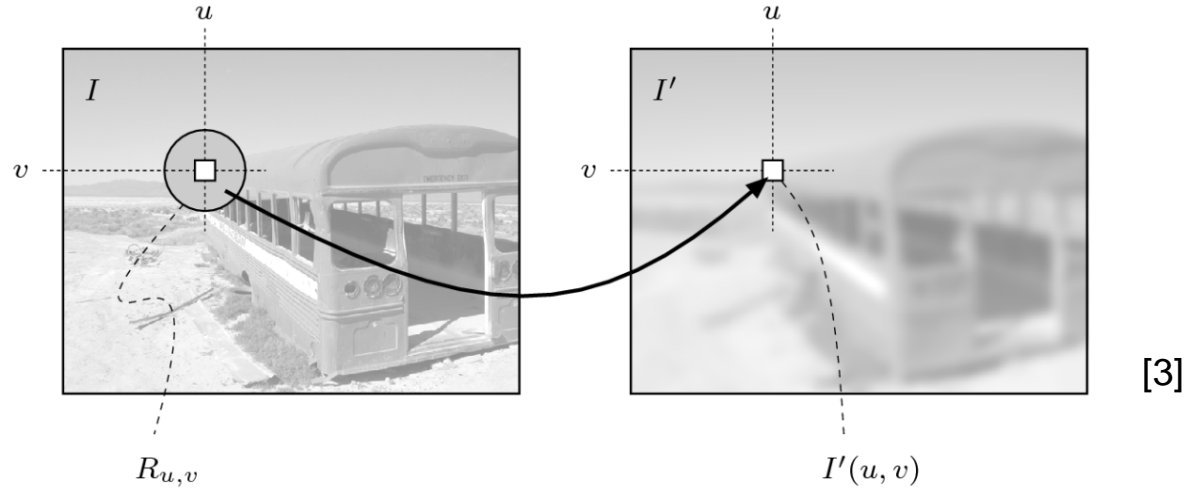
Integration über eine homogene Fläche

- Falls für eine Reihe von Bildpunkten (p_0, \dots, p_n) gilt, dass $f(p_i) = \text{const}$, dann kann Rauschen n mit $E\{n\} = 0$ durch Addition der gemessenen Funktionswerte $g(p_i)$ reduziert werden.
- Annahmen:
 - Bild besteht aus homogenen Bereichen.
 - Benachbarte Punkte haben den gleichen Grauwert.
- Rauschunterdrückung:
 - Mittelwertbildung über vorgegebene Nachbarschaft.



[2]

4.3 Rauschreduktion



Idee: Ersetze jeden Pixel durch den Durchschnitt seiner Nachbarschaft p_1, p_2, \dots, p_9 :

$$I'(u, v) \leftarrow \frac{1}{9} \sum_{i=1}^9 p_i$$

4.3 Rauschreduktion

3x3-Boxcar-Filter in relativen Bildkoordinaten:

$$I'(u, v) \leftarrow \frac{1}{9} [I(u-1, v-1) + I(u, v-1) + I(u+1, v-1) + I(u-1, v) + I(u, v) + I(u+1, v) + I(u-1, v+1) + I(u, v+1) + I(u+1, v+1)]$$

Filtermerkmale:

- Ergebnis wird nicht aus einem einzigen Pixel berechnet, sondern aus einer Menge von Pixeln
- Koordinaten der Quellpixel haben eine feste relative Position zum Zielpixel und bilden i.A. eine zusammenhängende Region.

Parameter:

- Größe der Filterregion
- Form der Filterregion
- Gewichtung der Quellpixel (konstant oder ortsabhängig)

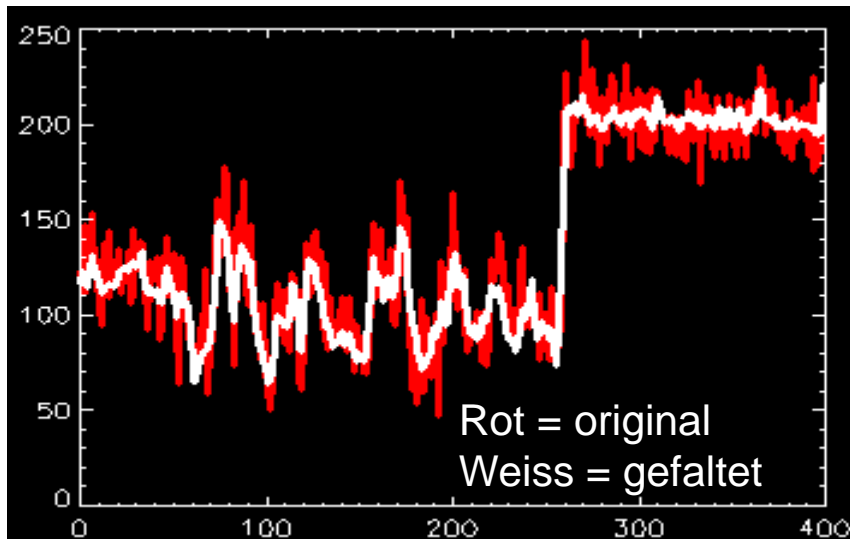
Beispiel

4.3 Rauschreduktion

1/9	1/9	1/9
1/9	1/9	1/9
1/9	1/9	1/9

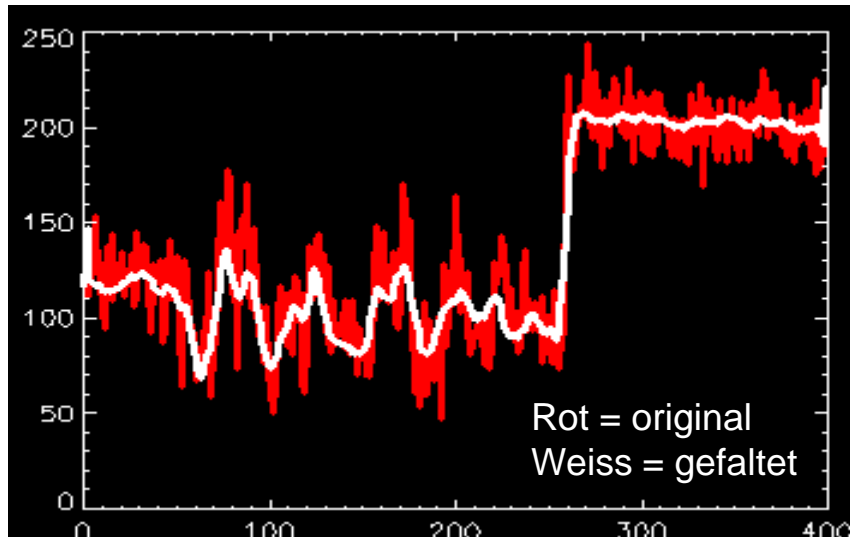
Filtermaske

3x3 Boxcar-Filter



4.3 Rauschreduktion

7x7 Boxcar-Filter



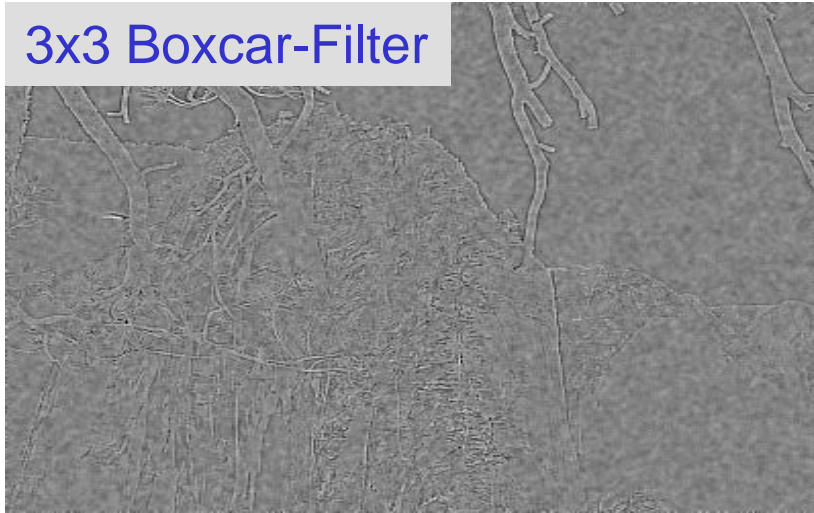
[2]

4.3 Rauschreduktion

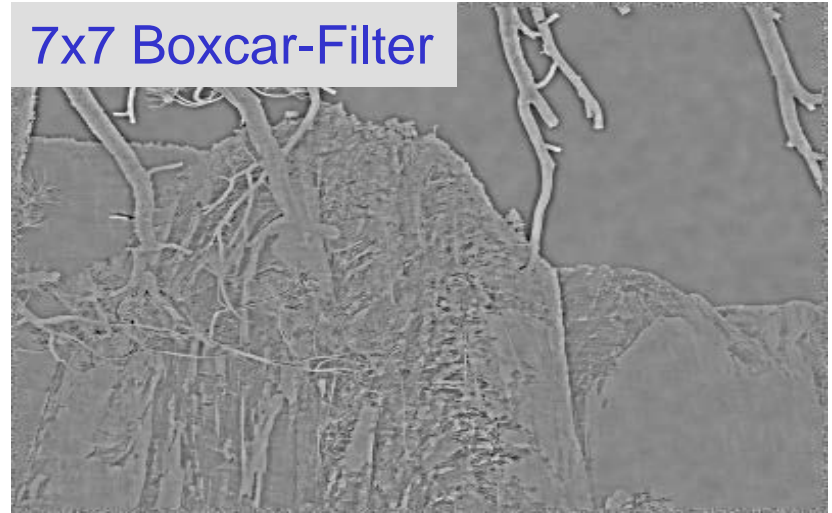
Beobachtung: Bild wird unscharf, Kanten werden verwaschen

Grund: Annahme konstanter Funktionswerte ist nicht wahr.

3x3 Boxcar-Filter



7x7 Boxcar-Filter



$$|I'(u, v) - I(u, v)|$$

[2]

4.3 Rauschreduktion

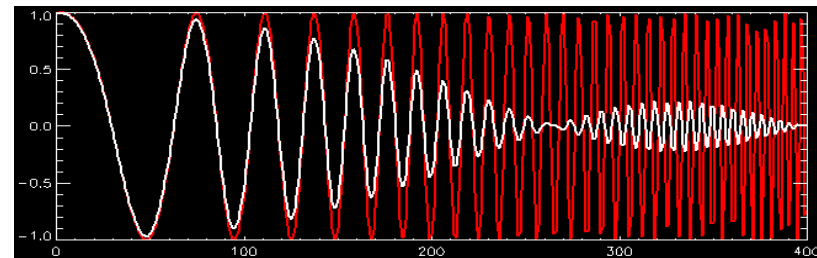
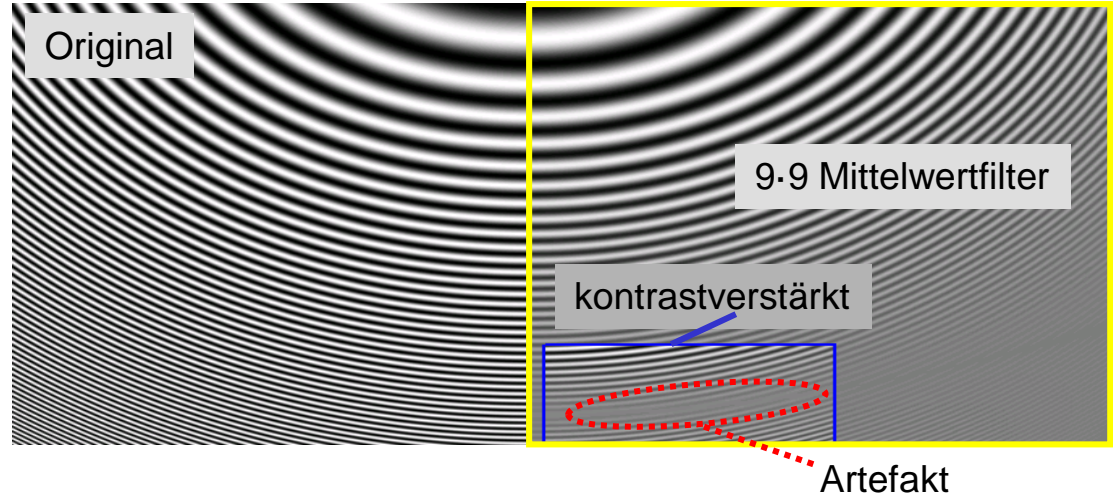
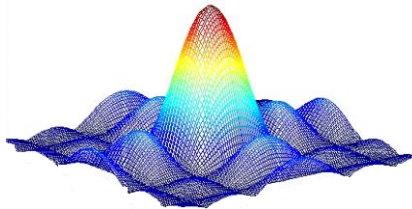
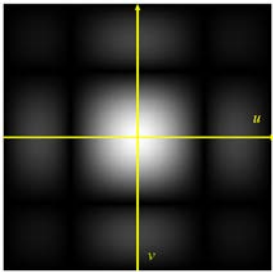
Tiefpassfilter:

- schwächen hochfrequente Teile des Bildinhalts (Details und Rauschen)
- Visueller Eindruck des Bildes wird weicher
- Kanten werden verwischt
- in homogenen Bereichen keine Auswirkung

4.3 Rauschreduktion

Anomalie des Mittelwertfilters

Transferfunktion: beschreibt die Abhängigkeit des Ausgangssignals von dessen Eingangssignal



[2]

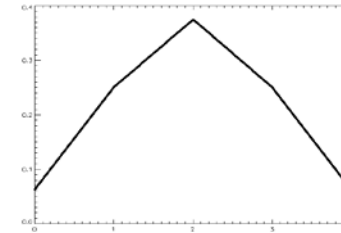
Bildzeile: rot: vor der Filterung, weiß: nach Filterung

3.3 Rauschreduktion

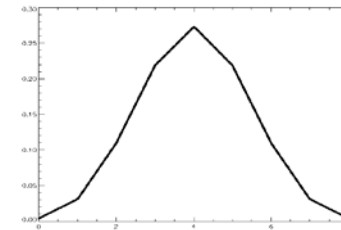
Binomialfilter

n	f		σ^2
0	1	1	0
1	1/2	1 1	1/4
2	1/4	1 2 1	1/2
3	1/8	1 3 3 1	3/4
4	1/16	1 4 6 4 1	1
5	1/32	1 5 10 10 5 1	5/4
6	1/64	1 6 15 20 15 6 1	3/2
7	1/128	1 7 21 35 35 21 7 1	7/4
8	1/256	1 8 28 56 70 56 28 8 1	2

N=4



N=8



Zweidimensionaler Binomialfilter:

$$B^n = (B^n)^T \cdot B^n \quad B^2 = \frac{1}{4} \begin{bmatrix} 1 & 2 & 1 \end{bmatrix}^T \cdot \frac{1}{4} \begin{bmatrix} 1 & 2 & 1 \end{bmatrix} = \frac{1}{16} \begin{bmatrix} 1 & 2 & 1 \\ 2 & 4 & 2 \\ 1 & 2 & 1 \end{bmatrix}$$

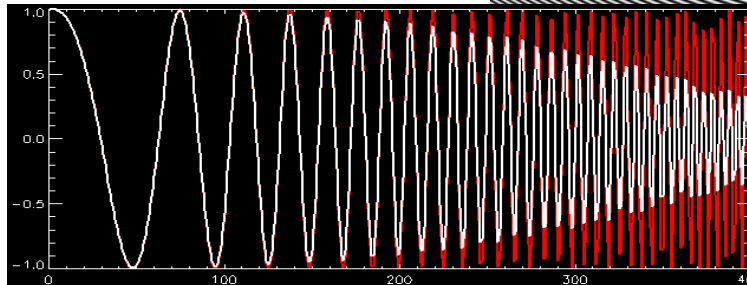
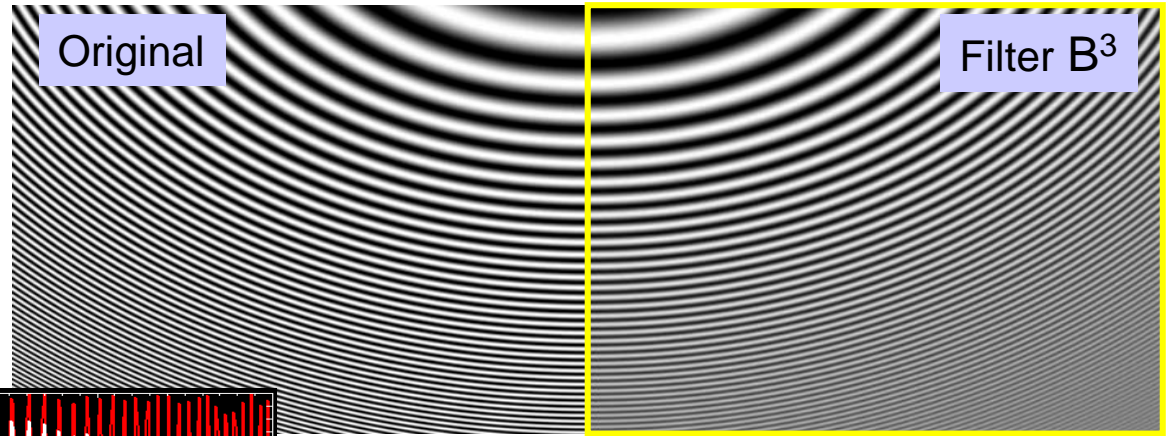
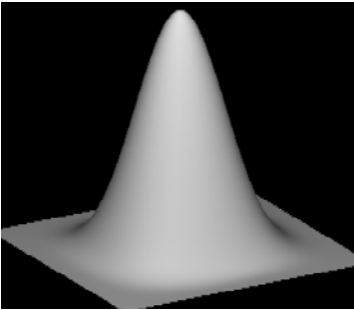
Beispiel

Bildverarbeitung, Regina Pohle-Fröhlich, 4. Tiefpassfilter im Ortsbereich

4.3 Rauschreduktion

Resultate des Binomialfilters

Transferfunktion



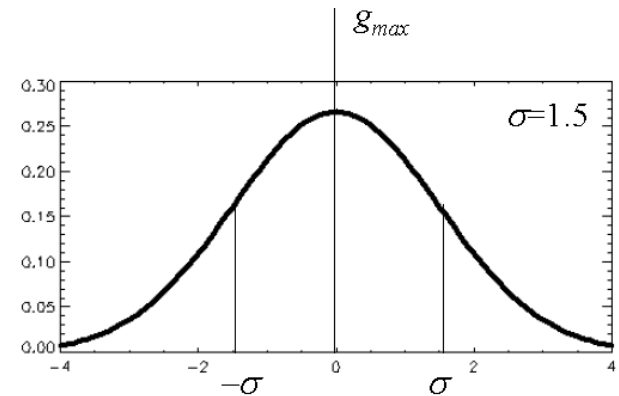
Bildzeile
rot: vor der Filterung
weiß: nach Filterung

[2]

4.3 Rauschreduktion

Binomialfilter und Gaußfunktion

- Für größere Filterkerne Annäherung des Binomialfilters an Gauß'sche Glockenkurve
- Funktion wird nie Null
- Filterkern endlicher Größe „schneidet“ die Funktion ab
- Kerngröße ca. $2 \times 3\sigma + 1$
- ausgewählter Filterkern muss normiert werden
- Separabilität macht Filterung effizient:
 $g(x,y) = g(x) * g(y)$



4.3 Rauschreduktion

Gaußfilter

$\sigma=1.5$



$\sigma=3.0$



[2]

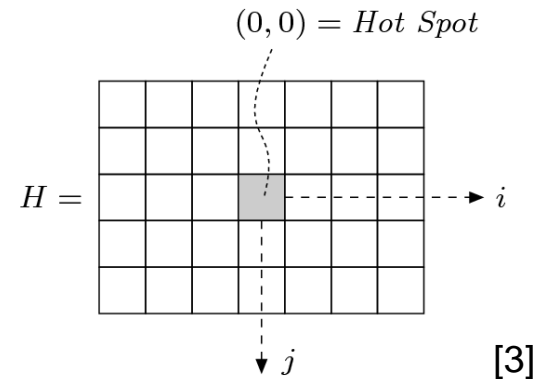
4.3 Rauschreduktion

Eigenschaften aller Rauschunterdrückungsfilter

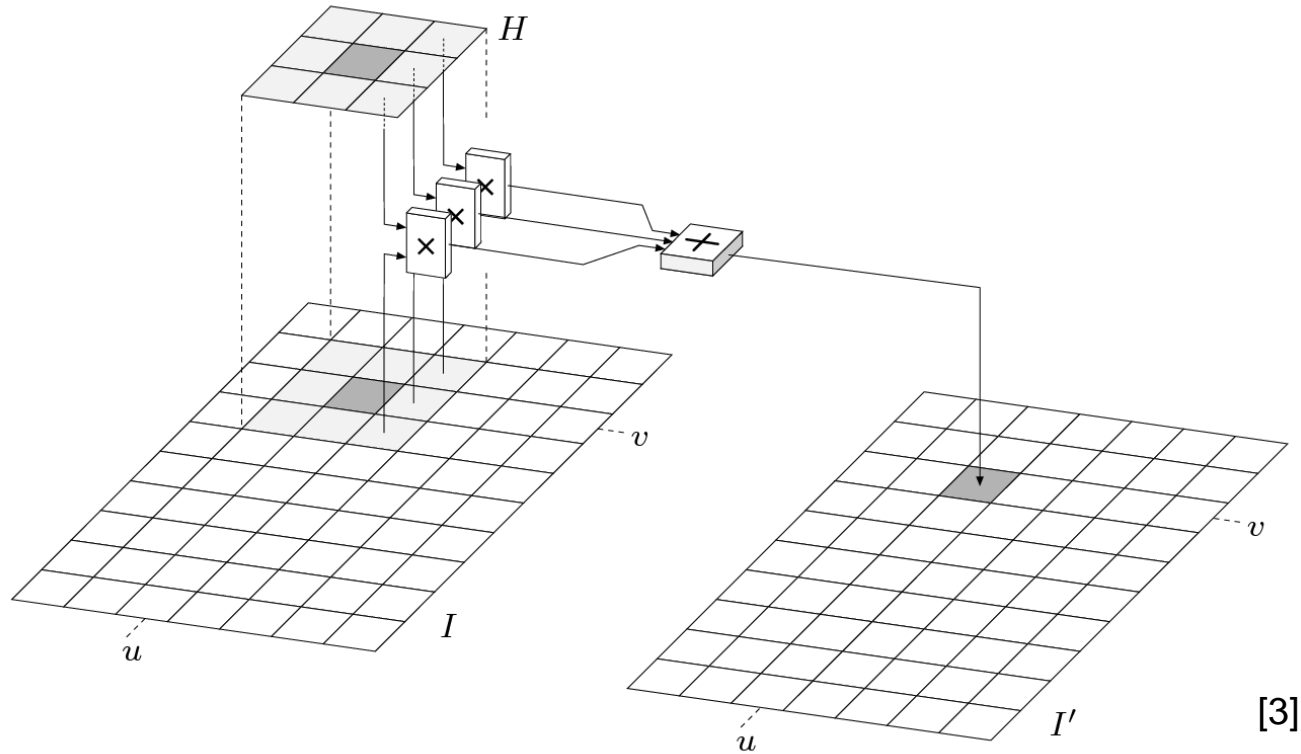
- Die Summe aller Elemente der Maske ist immer 1 (Gesamthelligkeit bleibt gleich)
- nur positive Elemente in der Maske
- ungerade Anzahl von Werten
- Maske ist punktsymmetrisch zum Koordinatenursprung der Maske
- Bildinformation wird nicht verschoben und keine Richtung wird bevorzugt

4.4 Lineare Filter

- **Lineare Filter:** Wert des Zielpixels wird als gewichtete Summe der Quellpixel berechnet.
- Größe und Form der Filterregion und Gewichte des Filter werden durch eine Matrix von Filterkoeffizienten spezifiziert (Filtermaske)
- Die Filtermatrix ist - wie ein Bild – eine diskrete zweidimensionale Funktion.
- Koordinaten werden meist relativ zum Zentrum angegeben ("hot spot").



4.4 Lineare Filter



4.4 Lineare Filter

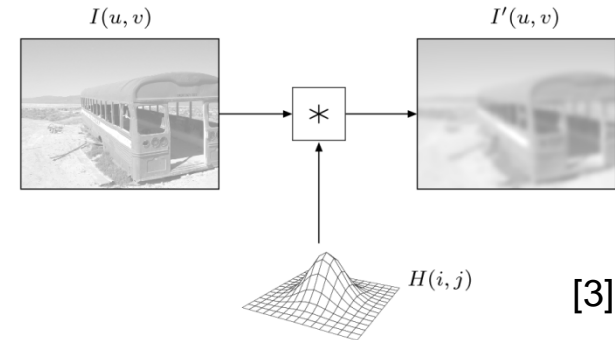
Diskrete Faltung (Konvolution)

- Funktionswert des veränderten Bildes nach der Faltung $f*g$ entsteht durch Addition der umgebenden Funktionswerte mit einer nach (m,n) verschobenen Gewichtsfunktion
- Definitionsbereich des Bildes und der Gewichtsfunktion geht von $-\infty$ bis $+\infty$

$$I'(u, v) = I(u, v) * H(u, v) = \sum_{i=-\infty}^{\infty} \sum_{j=-\infty}^{\infty} I(u-i, v-j) \cdot H(i, j)$$

Sonderfall der Faltung

- endliche Definitionsbereiche
- Spezielle Randbehandlung erforderlich
 - Randpunkte nicht behandeln (Bild wird kleiner oder alte Werte behalten)
 - Originalbild an den Rändern spiegeln
 - Maske in den Randbereichen einschränken



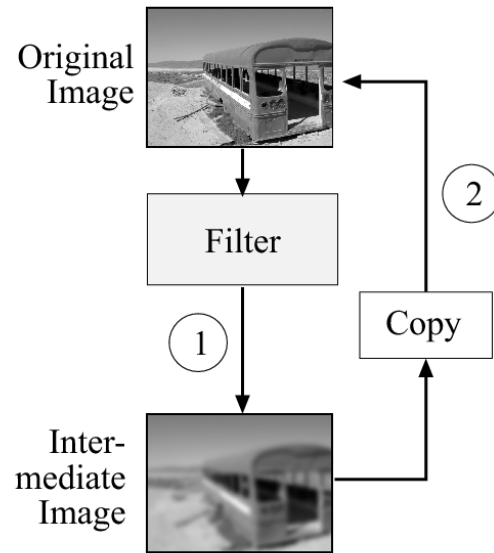
4.4 Lineare Filter

Eigenschaften der Faltung

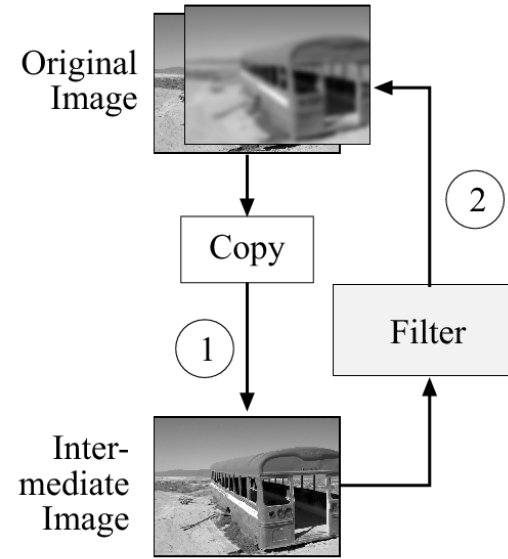
- Kommutativität: $h_1 * h_2 = h_2 * h_1$
- Assoziativität: $(h_1 * h_2) * h_3 = h_1 * (h_2 * h_3)$
- Linearität: $(a \cdot I) * H = I * (a \cdot H) = a \cdot (I * H)$
 $(I_1 + I_2) * H = I_1 * H + I_2 * H$
aber
 $(b + I) * H \neq b + I * H$
- verschiebungsinvariant: Operatorantwort hängt nicht vom Ort, sondern nur von den Werten in der Umgebung ab

4.5 Implementierung linearer Filter

Im Gegensatz zu Punktoperationen bei Filtern keine "in place"-Verarbeitung möglich (Quellpixel werden mehrfach benötigt)



Variante A



Variante B

[3]

4.5 Implementierung linearer Filter

Einfaches Beispiel: 3x3 Boxcar-Filter: 4 Schleifen

```
8      int w = orig.getWidth();
9      int h = orig.getHeight();
10     ImageProcessor copy = orig.duplicate();
11
12     for (int v=1; v<=h-2; v++) {
13         for (int u=1; u<=w-2; u++) {
14             //compute filter result for position (u,v)
15             int sum = 0;
16             for (int j=-1; j<=1; j++) {
17                 for (int i=-1; i<=1; i++) {
18                     int p = copy.getPixel(u+i,v+j);
19                     sum = sum + p;
20                 }
21             }
22             int q = (int) (sum / 9.0);
23             orig.putPixel(u,v,q);
24         }
25     }
```

[3]

4.5 Implementierung linearer Filter

3x3-Glättungsfilter mit Gaußförmiger Maske

$$H(i, j) = \begin{bmatrix} 0.075 & 0.125 & 0.075 \\ 0.125 & \underline{0.200} & 0.125 \\ 0.075 & 0.125 & 0.075 \end{bmatrix}$$

```
2      int w = orig.getWidth();
3      int h = orig.getHeight();
4      // 3 x 3 filter matrix
5      double[][] filter = {
6          {0.075, 0.125, 0.075},
7          {0.125, 0.200, 0.125},
8          {0.075, 0.125, 0.075}
9      };
10     ImageProcessor copy = orig.duplicate();
11
12     for (int v=1; v<=h-2; v++) {
13         for (int u=1; u<=w-2; u++) {
14             // compute filter result for position (u,v)
15             double sum = 0;
16             for (int j=-1; j<=1; j++) {
17                 for (int i=-1; i<=1; i++) {
18                     int p = copy.getPixel(u+i,v+j);
19                     // get the corresponding filter coefficient:
20                     double c = filter[j+1][i+1];
21                     sum = sum + c * p;
22                 }
23             }
24             int q = (int) Math.round(sum);
25             orig.putPixel(u,v,q);
26         }
27     }
```

[3]

4.5 Implementierung linearer Filter

Oft ist es vorteilhafter, mit ganzzahligen Filterkoeffizienten zu arbeiten:

- keine Umwandlung und Speicherung des Bildes in Gleitkommaformat notwendig
- auf manchen Rechnerarchitekturen sind Ganzzahloperationen schneller
- Realisierung über einen Skalierungsfaktor

$$H(i, j) = \begin{bmatrix} 0.075 & 0.125 & 0.075 \\ 0.125 & \underline{0.200} & 0.125 \\ 0.075 & 0.125 & 0.075 \end{bmatrix} = \frac{1}{40} \begin{bmatrix} 3 & 5 & 3 \\ 5 & \underline{8} & 5 \\ 3 & 5 & 3 \end{bmatrix}$$

4.5 Implementierung linearer Filter

Separable Filter

Aus der Assoziativität ergibt sich, dass ein großer Filter H in mehrere kleine Filter H_i zerlegt werden kann:

$$I * H = I * (H_1 * H_2 * \dots) = (\dots((I * H_1) * H_2) * \dots)$$

Zerlegung eines zweidimensionalen Filters in zwei eindimensionale Filter in x- und y-Richtung (x/y-Separabilität), z.B

$$H_{xy} = \begin{bmatrix} 1 & 1 & 1 & 1 & 1 \\ 1 & 1 & 1 & 1 & 1 \\ 1 & 1 & 1 & 1 & 1 \end{bmatrix} \quad \text{zerlegt in} \quad H_x = [1 \quad 1 \quad 1 \quad 1 \quad 1] \quad \text{bzw.} \quad H_y = \begin{bmatrix} 1 \\ 1 \\ 1 \end{bmatrix}$$

$$I' = I * H_{xy} = I * (H_x * H_y) = (I * H_x) * H_y \quad 8 \text{ statt } 15 \text{ Multiplikationen}$$

Typisches Beispiel: Gauß-Filter

4.5 Implementierung linearer Filter

Mittelwertfilterung über Integralbild

1	1	1	1	1	..
1	1	1	1	1	..
1	1	1	1	1	..
1	1	1	1	1	..
1	1	1	1	1	..
..

Bild

1	2	3	4	5	..
2	4	6	8	10	..
3	6	9	12	15	..
4	8	12	16	20	..
5	10	15	20	25	..
..

Integralbild (Summe aller
Pixel oberhalb und links
vom betrachteten Pixel)

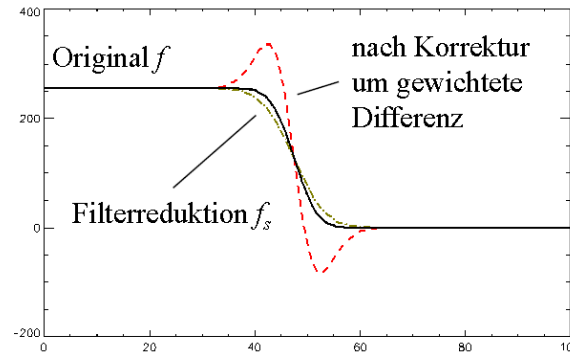
	a			c
	b			d

Pixelflächensumme
 $s=a-b-c+d$

4.6 Maskierung der Unschärfe

Verbesserung des visuellen Bildeindrucks mit Maskierung der Unschärfe (unsharp masking) → Bild wird wegen Machband-Effekt schärfer wahrgenommen

- Berechne Bild f_s durch Filterung von f mit Gaußfunktion mit Standardabweichung σ
- Addiere mit p gewichtete Differenz $f-f_s$ auf das Originalbild $f_{USM}=f+p(f-f_s)$ (p wird oft in Prozent angegeben, d.h. 50% entspricht $p=0.5$)
- f_{USM} wird für f eingesetzt, falls der Unterschied zwischen f und f_s größer ist, als eine Schwelle t .



4.6 Maskierung der Unschärfe

σ (radius)

- je größer der Radius, desto breiter ist der verstärkende Rand an Kanten
- Wert ist die Standardabweichung der Gaußfunktion, d.h. die Breite ist ca. 6-mal größer

p (amount)

- je größer der Wert, desto höher ist Verstärkung an den Rändern

t (threshold)

- je höher der Wert, desto stärker muss Kante sein, damit überhaupt ein Sharpening stattfindet
- jeder Wert $t > 0$ führt dazu, dass das Filter nicht mehr linear ist (Artefakte sind möglich!)

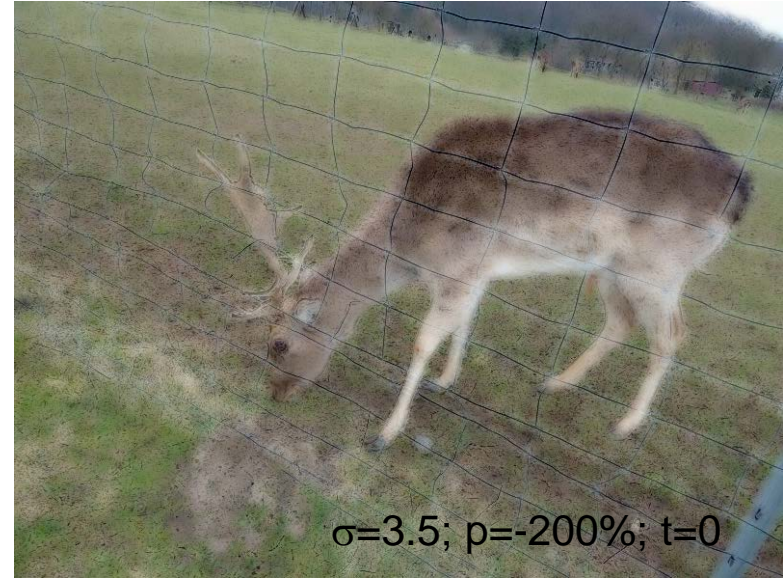
4.6 Maskierung der Unschärfe



4.6 Maskierung der Unschärfe



4.6 Maskierung der Unschärfe



Beispiel

Bildverarbeitung, Regina Pohle-Fröhlich, 4. Tiefpassfilter im Ortsbereich

4.7 Zusammenfassung

- Rauschenunterdrückung kann durch Schätzung des Erwartungswerts der Bildfunktion erreicht werden
- Schätzung des Erwartungswerts = zeitliche oder räumliche Integration
- im Ortsraum: räumliche Integration durch Faltung des Bildes mit Filtermasken
- Mehrere Möglichkeiten der Implementation

Bildquellen

- [1] A. Ehrhardt: Einführung in die Digitale Bildverarbeitung, Vieweg+Teubner, 2008
- [2] K. D. Tönnies: Grundlagen der Bildverarbeitung, Pearson Studium, 2005
- [3] W. Burger, M.J. Burge: Digitale Bildverarbeitung, Springer Verlag, 2005